

**Получение критических токов
близких к теоретическому пределу
в сплаве $Tl - 22$ ат % Nb**

B. P. Карасик, B. Г. Верещагин

В настоящей работе представлены результаты непосредственных измерений критических токов, соответствующих распариванию электронного конденсата, то есть предельных для данного вещества.

Измерения проводились на проволочных образцах, как в продольном ($j \parallel H$), так и в поперечном ($j \perp H$) внешнем магнитном поле. Ток был направлен вдоль оси проволочки.

Расчёт токов распаривания проводился в¹. Когда внешнее магнитное поле равно нулю, предельный критический ток определяется из условия

$$F_n - F_s = \frac{H_c^2}{8\pi} = \frac{1}{2} j_n(0) 4\pi\lambda^2, \quad (1)$$

откуда $j_n(0) = \frac{H_c}{4\pi\lambda}$.

Здесь F_n — плотность свободной энергии в нормальном, а F_s — в сверхпроводящем состоянии, H_c — термодинамическое магнитное поле, λ — глубина проникновения слабого магнитного поля, $1/2 j_n(0) 4\pi\lambda^2$ — кинетическая энергия тока, $j_n(0)$ — плотность тока при $H=0$.

Учёт цилиндрической формы образца даёт²:

$$j_n(0) = 0,54 \frac{H_c}{4\pi\lambda} \quad (2)$$

При увеличении внешнего магнитного поля происходит переход от поверхностного течения тока (эффект Мейсснера) к объёмному. Поскольку экспериментально измеряемая величина есть полный критический ток J_k , а сечение, заполняемое током, в переходной области неизвестно, вычисление J_k в слабых магнитных полях связано с большими трудностями. В сильных магнитных полях ток равномерно заполняет сечение образца S . Поэтому измерив в сильных полях J_k и экстраполировав J_k/S к $H=0$, можно получить $j_k(0)$.

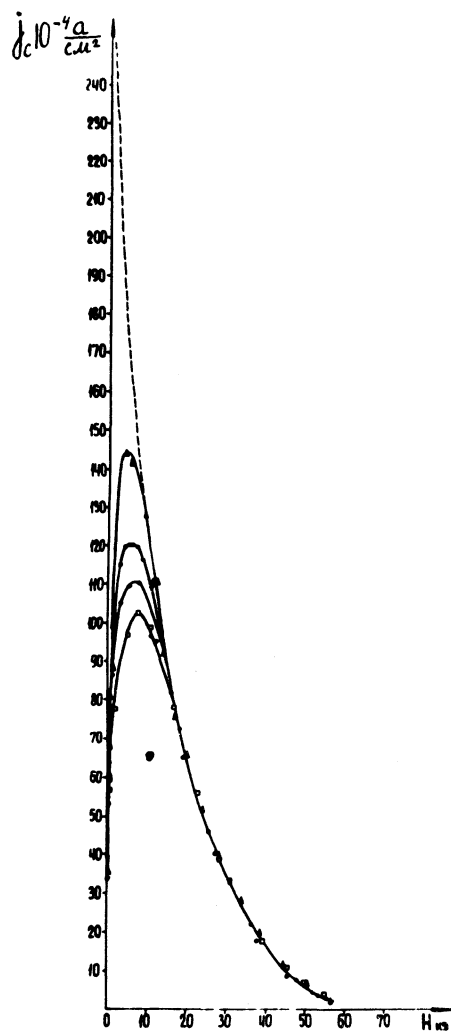
На рис. 1 представлены результаты измерений критического тока в продольном магнитном поле, полученные на образцах, отличающихся только радиусом. Видно, что при $H > 20$ кэ средняя плотность тока $\langle J_k \rangle = \frac{J_k}{\pi R^2}$ не зависит от радиуса. Максимумы на кривых при $H < 20$ кэ связаны с заполнением сечения током. Чем тоньше образец, тем выше и левее расположены максимумы. Ясно, что при $R \sim \lambda$ заполнение сечения произойдёт при $H=0$ и максимум исчезнет.

Экстраполяция $\langle J_k \rangle$ к $H=0$ в нашем случае облегчается тем, что в интервале $10 < H < 50$ кэ ход $\langle j_k(H) \rangle$ подчиняется закону

$$\langle J_k(H) \rangle = \langle J_k(0) \rangle \exp(-H/H_0) \quad (3)$$

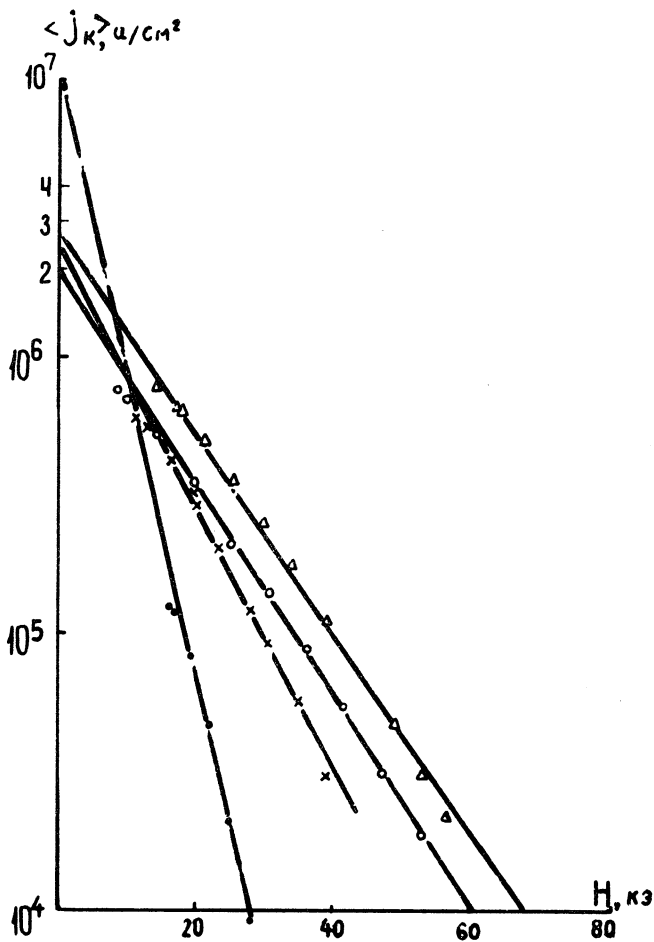
На рис. 2 приведены в полулогарифмическом масштабе результаты измерений $\langle j_k(H) \rangle$ образцов сплава Ti - 22 ат% Nb, имеющих разную структуру:

Образец б у - однофазный, с объёмно-центрированной решёткой твёрдого раствора ниобия в титане (β -фаза). Остальные образцы двухфазные. Они содержат равномерно распределённые в объёме матрицы выделения гексагональной ω -фазы со слабыми сверхпроводящими свойствами ($T_c \sim 4^{\circ}\text{K}$). Выделения имеют форму эллипсоидов вращения, ориентированных вдоль направ-



Р и с. 1. Зависимость формы кривой $\langle j_k(H) \rangle$ от радиуса образца. $T=4,2^{\circ}\text{K}$

$\Delta R = 45 \text{ мк}$	$\circ R = 103 \text{ мк}$
$\bullet R = 75 \text{ мк}$	$\square R = 116 \text{ мк}$



Р и с. 2. Зависимость $\langle j_k(H) \rangle$ у образцов с разной структурой. $T = 4,2^\circ\text{K}$

• - 6у × - 6б Δ - 6в ○ - 6г

лений [111] матрицы. Размеры полуосей эллипсоидов, определённые с помощью трансмиссионной электронной микроскопии В. А. Вазилкиным и Н. Н. Буйновым⁴, следующие: образец 6б : 300 x 120 Å; образец 6в : 450 x 160 Å; образец 6г : 900 x 380 Å.

При $H > 20$ кэ все ω -эллипсоиды находятся в не-сверхпроводящем состоянии и служат надёжными фиксаторами вихревой решётки Абрикосова, обеспечивая её "жёсткость" – способность противостоять силе Лоренца.

Заполненная несверхпроводящими ω -частичами для поперечного сечения проволочек была подсчитана нами на тёмнопольных снимках при увеличении 70000 и оказалась равной у образца 6в – 81,6%, у образца 6г – 79,4% (съёмка образца 6б была не совсем удачной).

Величина критической плотности тока при $H=0$, относённая к сверхпроводящей части сечения, соответственно равна:

образец 6в – $1,4 \cdot 10^7$ а/см²; образец 6г – $1,02 \cdot 10^7$ а/см²; образец 6у (не содержит ω -частич; все сечение сверхпроводящее) $\sim 10^7$ а/см².

Сравним полученные результаты с вычисленными по формуле (2). Величину H_c найдём с помощью измеренных нами значений T_k и электронной части теплоёмкости γ ⁵, связанных известной формулой

$$H_c = T_k \sqrt{2\pi\delta} \left[1 - \left(\frac{T}{T_k} \right)^2 \right]. \quad (4)$$

Глубину проникновения определим по значениям H_{c2} ³ и H_c :

$$\lambda = \left(\frac{\Phi_0 H_{c2}}{4\pi H_c^2} \right)^{\frac{1}{4}} \quad (5)$$

Здесь H_{c2} – второе критическое поле, Φ_0 – квант магнитного потока.

Результаты расчётов и измерений сведены в таблицу

Образец	$\delta \cdot 10^3$, эрг/см ³ К	H_{c2} , Э при 4,2°К	H_0 , Э при 4,2°К	I_c , А при 4,2°К	T_c , °К	x	ξ	$j_k(0)$, а/см ² при 4,2°К	расчётное	измеренное
								расчётное		
6в	7,65	$8 \cdot 10^4$	1120	3570	7,8	57	63	$1,27 \cdot 10^7$	$1,4 \cdot 10^7$	
6г	7,65	$7,7 \cdot 10^4$	1125	3572	7,8	57	63	$1,26 \cdot 10^7$	$1 \cdot 10^7$	

*) $\chi = \frac{R}{\xi}$. **) ξ - радиус ствола вихря Абрикосова

Видно, что согласие между вычисленными и экстраполированными к нулю магнитного поля экспериментальными значениями j_k удовлетворительное.

Заметим, что формула (2) выведена для тонкого образца ($R \ll \lambda$). Но именно с ней и надо сравнивать наши экспериментальные данные, так как экстраполируется к нулю ток, равномерно заполняющий сечение.

При $H=0$ равномерное заполнение реализуется только при $R \ll \lambda$.

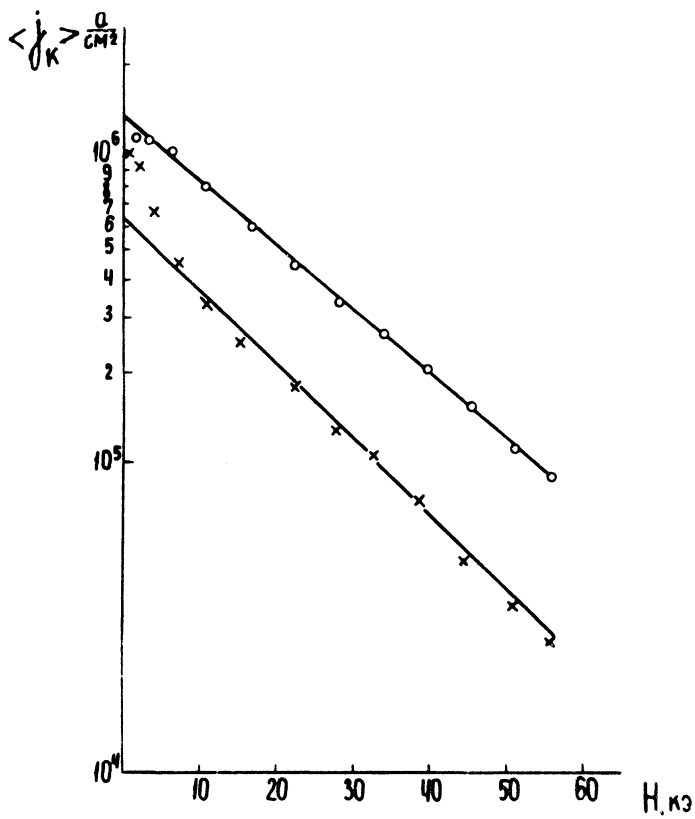
Сравним теперь значения критических токов, измеренных в продольном ($H \parallel j$) и поперечном ($H \perp j$) магнитных полях. Типичные экспериментальные данные приведены на рис.3. Видно, что $\langle j_k \parallel \rangle$ примерно вдвое больше, чем $\langle j_k \perp \rangle$. Объясним полученный результат. Поскольку вихри закреплены на ω -частицах, а сердцевины вихрей находятся в несверхпроводящем состоянии, ток обтекает их. При $j \parallel H$ ток течёт параллельно стволам вихрей, а при $j \perp H$ - перпендикулярно стволам. Расчёт площади, не занятой вихрями, приводит к соотношению ($H \gg H_{c2}$):

$$\frac{\langle j_k \parallel \rangle}{\langle j_k \perp \rangle} = \frac{1 - 0,5 H/H_{c2}}{1 - 0,8(H/H_{c2})^{1/2}} \quad (6)$$

При $H = 0,5 H_{c2}$ $\langle j_k \parallel \rangle / \langle j_k \perp \rangle \approx 1,7$, что качественно согласуется с результатами наших измерений.

В заключение покажем, что сила зацепления вихрей на несверхпроводящих частицах превышает силу Лоренца.

Энергия зацепления вихря на цепочке ω -эллипсоидов равна произведению энергии конденсации на объём ствола вихря. При $H=0$



Р и с. 3. Зависимость $\langle j_k(H) \rangle$ у образца 8а. $T=4.2^{\circ}\text{K}$.

○ — $j \parallel H$ × — $j \perp H$

$$W = \frac{H_c^2}{8\pi} \pi \xi^2 \quad (7)$$

Сила зацепления

$$F_s = \frac{\Delta W}{\Delta \xi} = \frac{H_c^2 \xi}{4} \quad (8)$$

Сила Лоренца

$$F_A = \frac{1}{c} [J_x \times \Psi_0] \quad (9)$$

Максимальное значение $\langle J_x \rangle$ наблюдалось у образцов серии 6 в. Отнеся полный ток к площади попечного сечения, не занятой ω -частичками, получаем $J_x = 3,5 \cdot 10^6$ а/см² во внешнем магнитном поле $H=3$ кэ.

Соответствующее значение $F_A = 0,07$ дин/см. Силу зацепления вычислим, пользуясь формулой (8) и взяв значения ξ и H_c из таблицы. $F_s \approx 0,2$ дин/см, т.е. $F_s > F_A$, поэтому сила Лоренца не может служить причиной разрушения сверхпроводимости в наших образцах.

Наблюдение предельных токов в сплаве Ti - 22 ат% Nb доказывает справедливость применения к нему модели жёсткой вихревой решётки³.

Авторы благодарят Б. М. Вула за внимание к работе и ценные советы, А. И. Русинова за плодотворные дискуссии, Г. Т. Никитину и Д. В. Пронкина за помощь при проведении измерений.

Поступила в редакцию
25 февраля 1970 г.

Л и т е р а т у р а

1. Bardeen J. Rev. Mod. Phys. 34, 667 (1962).
2. Силин В. П. ЖЭТФ, 21, 1830 (1951).
3. Бычков Ю. Ф., Верещагин В. Г., Курганов Г. Б., Мальцев В. А., Карасик В. Р. ЖЭТФ, 56, 505 (1969).
4. Карасик В. Р., Бычков Ю. Ф., Верещагин В. Г., Зуев М. Т., Курганов Г. Б., Мальцев В. А., Вазилкин В. А., Буйнов Н. Н. Доклад на 8-й Международной конференции социалистических стран по физике и технике низких температур. Дрезден, 25-29 ноября 1969.
5. Савицкий Е. М., Сухаревский Б. Я., Барон В. В., Алёшина А. В., Бычкова М. И. Доклад на 6-м Всесоюзном совещании по сверхпроводящим сплавам и соединениям. Москва, май 1969 г.